

## Imagerie Médicale

Hervé Delingette  
Projet Asclépios

Herve.Delingette@inria.fr



Epidaure

## Plan

- Introduction aux images médicales :
- Introduction à la segmentation d'images
  - Méthodes de seuillage et classification
  - Modèles déformables :
- Modélisation
  - Simulation de chirurgie
  - Modélisation Cardiaque
  - Croissance de tumeurs

26/09/2006  INRIA 2

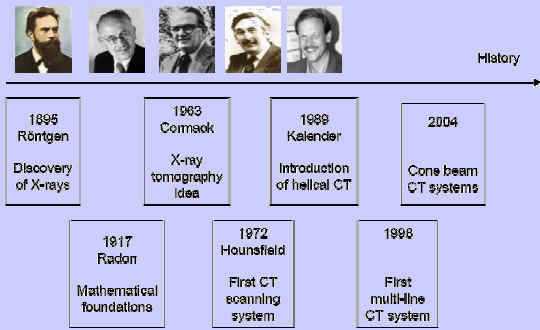
## Imagerie Médicale



Roentgen, 1895

26/09/2006  INRIA 3

## Development of Computed Tomography



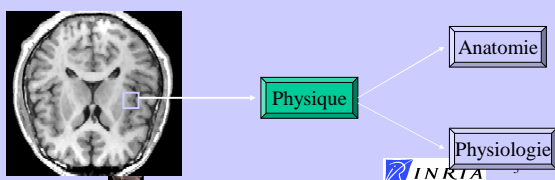
History

				
1895 Röntgen Discovery of X-rays	1963 Cormack X-ray tomography idea	1989 Kalender Introduction of helical CT	2004 Cone beam CT systems	
1917 Radon Mathematical foundations	1972 Hounsfield First CT scanning system	1998 First multi-line CT system		

26/09/2006  INRIA 4

## Caractéristiques des images médicales (1)

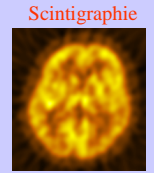
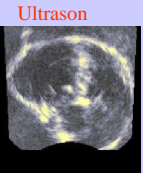
Les niveaux de gris sont liés aux caractéristiques physiques des tissus qui peut également être relié à un phénomène physiologique



Anatomie  
Physiologie

INRIA

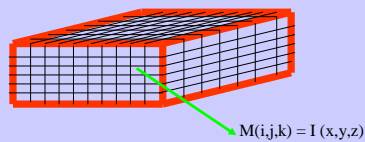
## Principales Modalités d'Imagerie

 IRM	 CT-Scanner
Densité et structure des Protons	Densité d'absorption aux rayons X
 Scintigraphie	 Ultrason
Densité d'isotopes injectées	Variations d'impédance Acoustique

26/09/2006  INRIA 6

## Images Médicales 3-D

- Représentation discrète d'une partie du corps qui est décrite par une matrice à 3 dimensions (voxels)



- $I(x,y,z)$  mesure certaines propriétés physiques ou chimiques du corps humain dans un élément de volume

26/09/2006



INRIA  
COMPU ANATOMIE

7

## Images Médicales 3-D

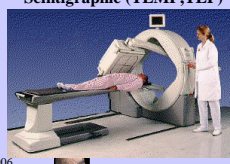
scanner



IRM



Scintigraphie (TEMP,TEP)



Echographie

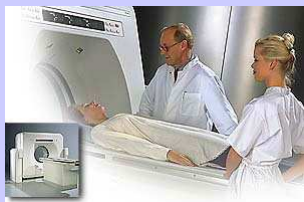


26/09/2006

INRIA  
COMPU ANATOMIE

8

## Tomodensitomètre X (Scanner)



- Densité d'absorption des rayons X

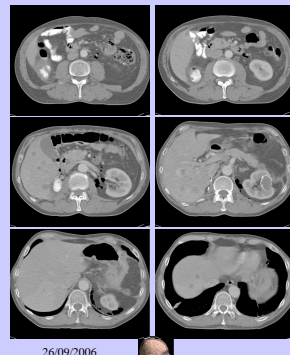
26/09/2006



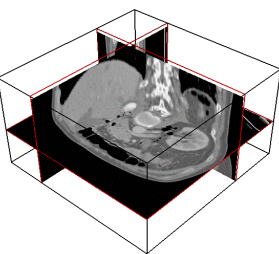
INRIA  
COMPU ANATOMIE

9

## Tomodensitomètre X (Scanner)



26/09/2006

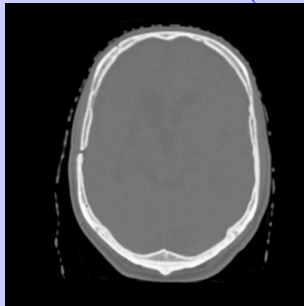


Taille: 512 x 512 x 128  
Résolution: 0.5 x 0.5 x 1 mm

INRIA  
COMPU ANATOMIE

10

## Tomodensitomètre X (Scanner)



Axiale ou Transverse

26/09/2006



INRIA  
COMPU ANATOMIE

12

## Imagerie par Résonance Magnétique



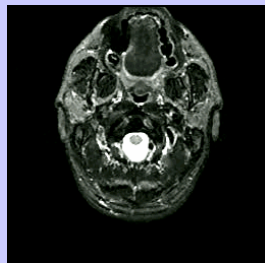
- Densité et structure des protons

26/09/2006

INRIA  
COMPU ANATOMIE

13

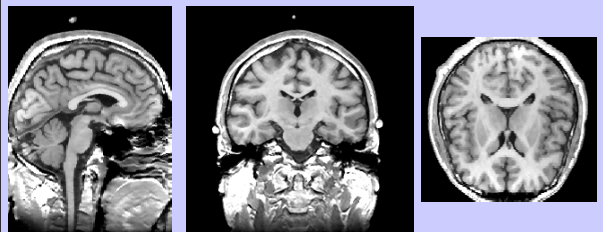
## Flying through cross-sections



26/09/2006

 14

## Imagerie par Résonance Magnétique



Coupe Sagittale

Coronale ou Frontale

Axiale ou Transverse

I(x,y,z) mesure une fonction de la densité et structure des protons

Résolution millimétrique.

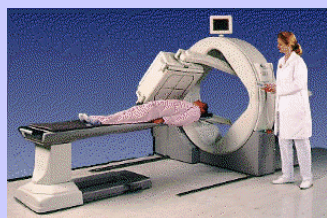
16 millions de points

26/09/2006



 15

## Scintigraphies (Médecine Nucléaire)

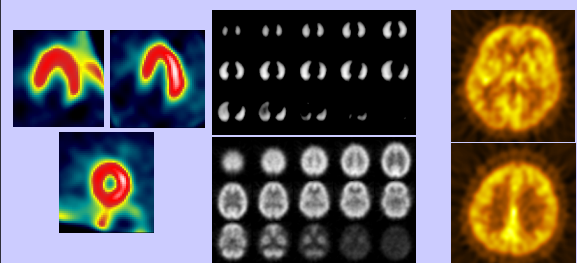


- Densité traceurs radioactifs

26/09/2006

 16

## Scintigraphies (médecine nucléaire)



TEMP: Tomographie par Emission MonoPhotonique

26/09/2006



TEP: Tomographie par Emission de Positons

 17

## Echographies



- Variation locale de l'impédance acoustique

26/09/2006

 18

## Echographie

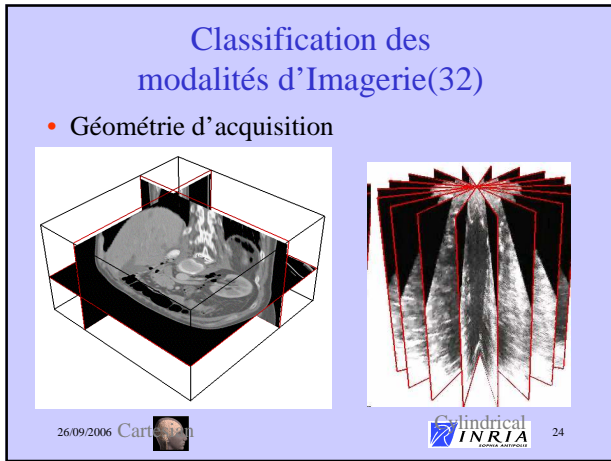
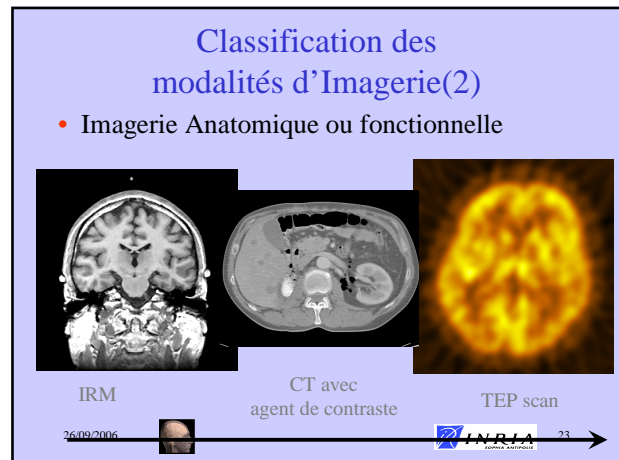
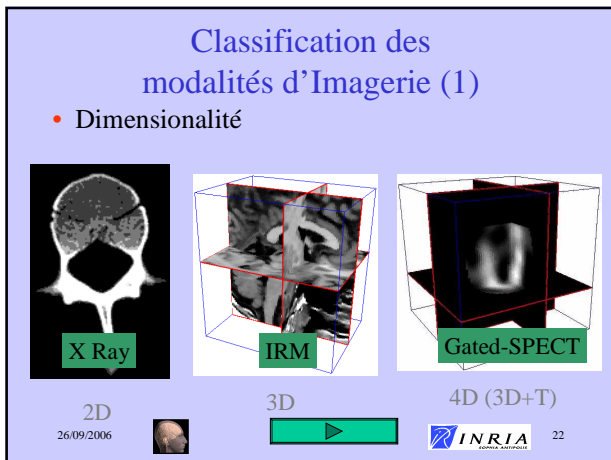
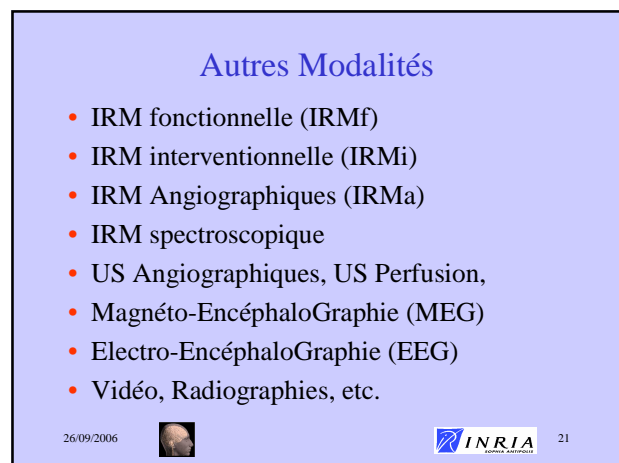
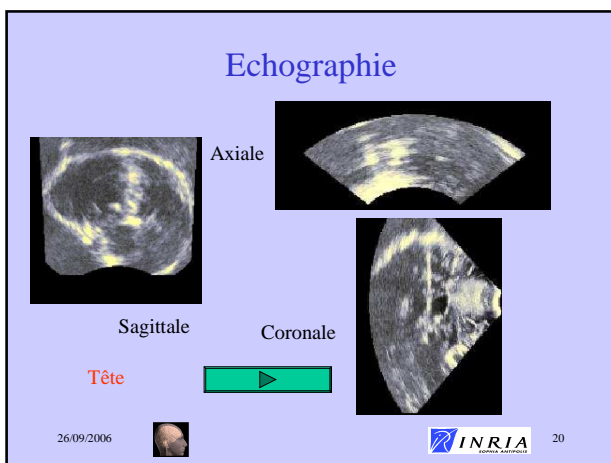


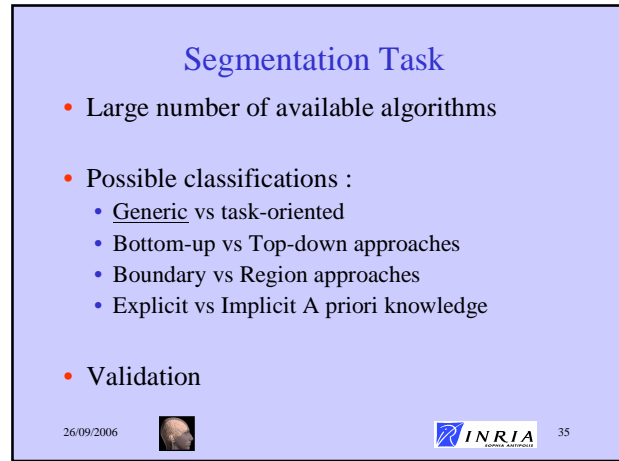
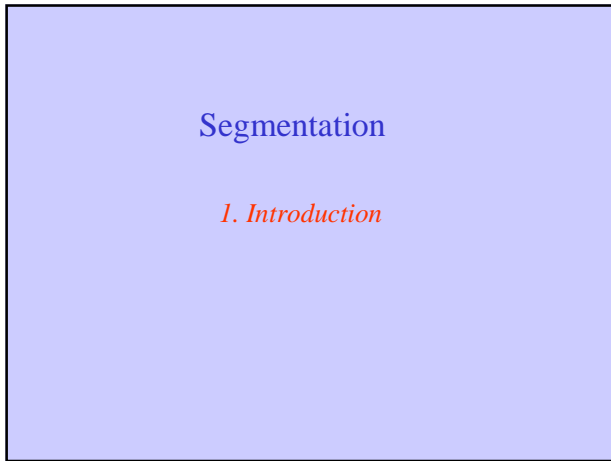
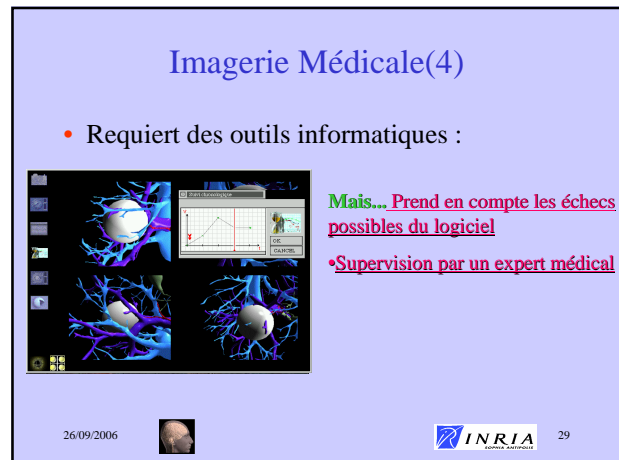
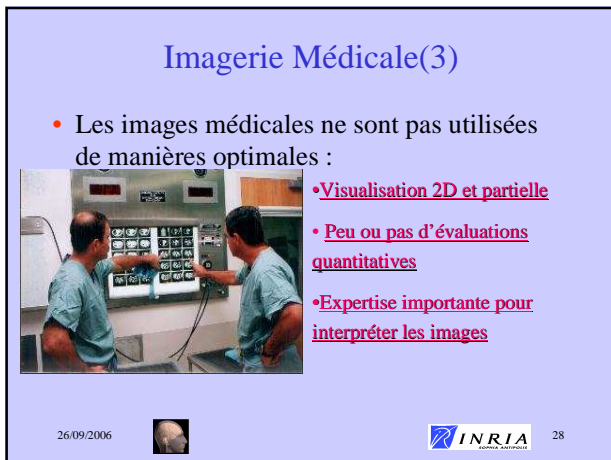
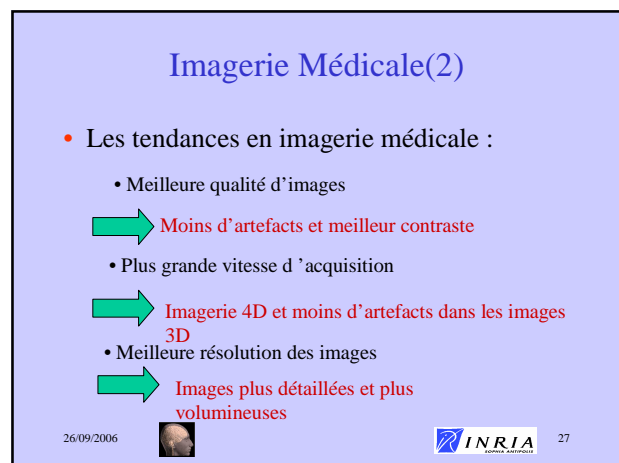
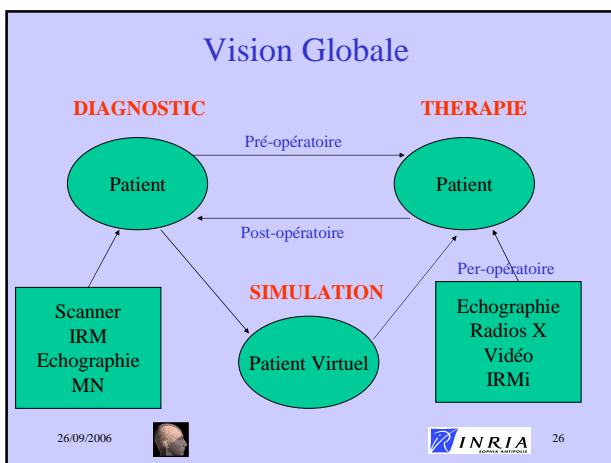
Vésicule

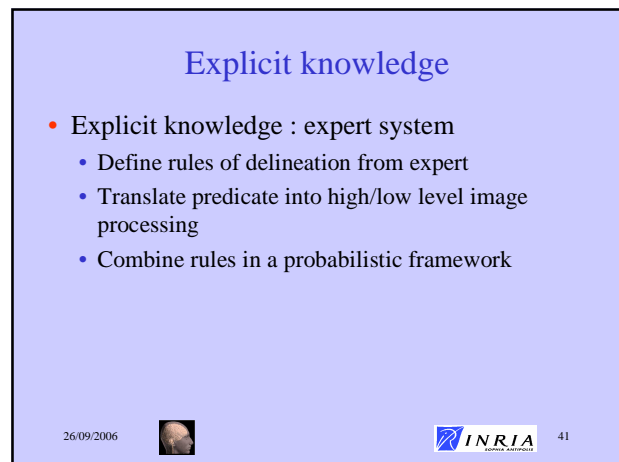
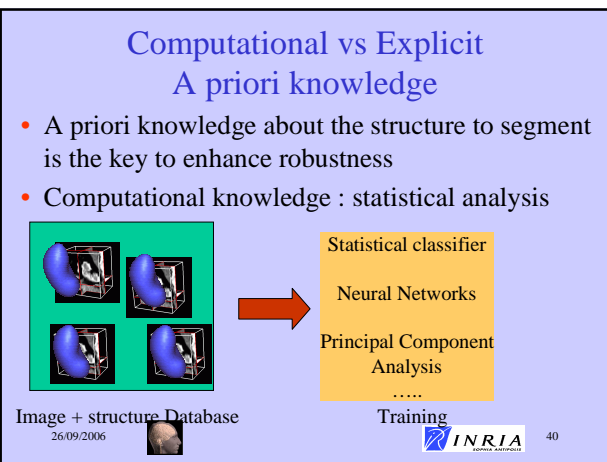
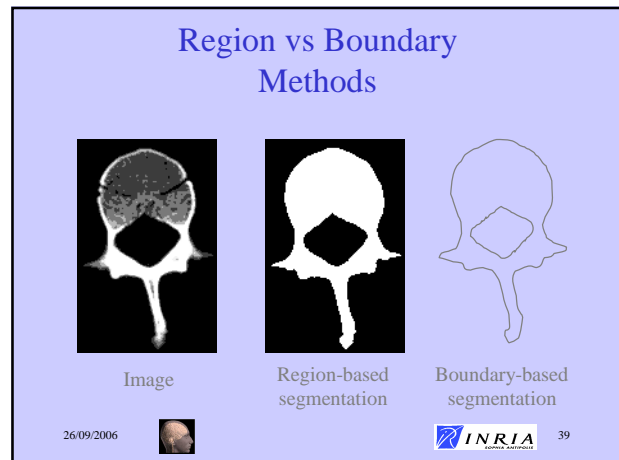
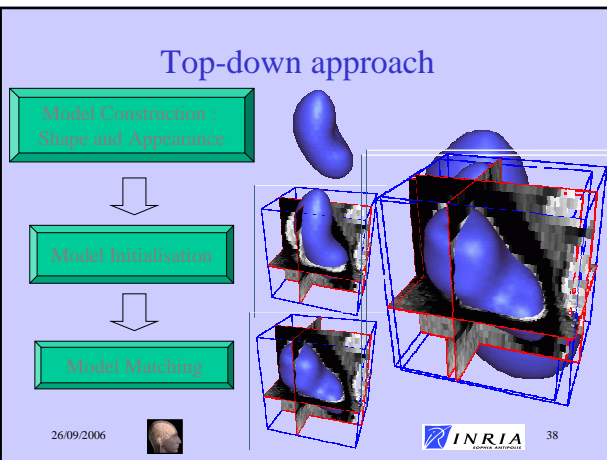
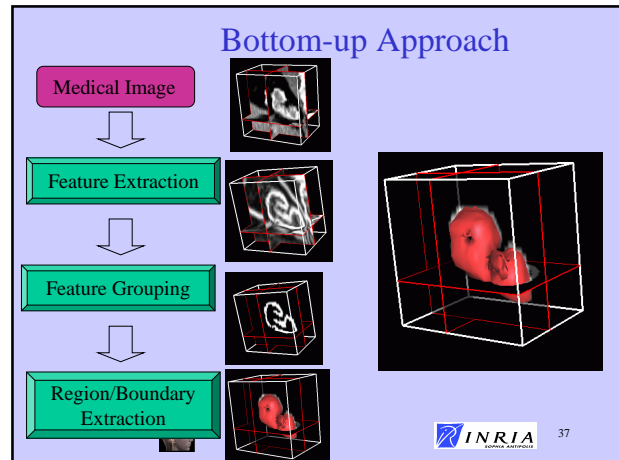
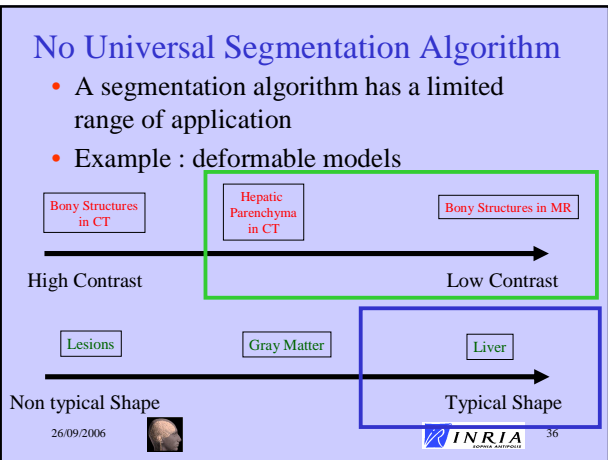
26/09/2006



 19







## Validation of Segmentation Algorithm

- Intrinsic Validation : comparison against
  - Observation of Physical Phantoms
    - Difficult and expensive to build
    - May not be representative of real data
  - Simulated images (MNI Brain Atlas,...)
    - Difficult to simulate artefacts
  - Segmentation of experts
    - Large inter and intra variability of segmentation across experts
    - May not be representation of population variability

26/09/2006

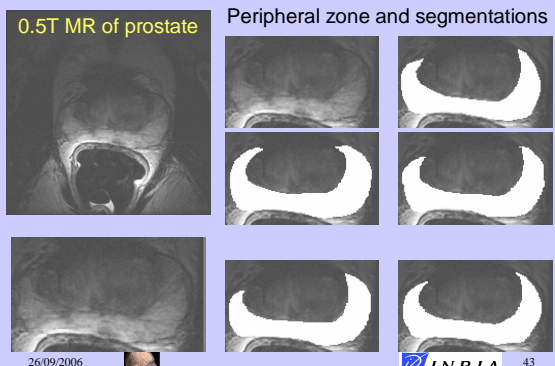


**INRIA**  
COMPLEX ANATOMY

42

How to judge segmentations of the peripheral zone?

0.5T MR of prostate



Peripheral zone and segmentations

26/09/2006



**INRIA**  
COMPLEX ANATOMY

43

## Validation of Segmentation Algorithm (2)

- Extrinsic Validation : comparison against other segmentation algorithms
  - Only possibility when no ground truth exists (Inter-patient registration of images) or when it not available
  - Estimate consistency, repeatability and size of convergence basin

26/09/2006



**INRIA**  
COMPLEX ANATOMY

44

## Two Segmentation Methods

Focus on 2 segmentation methods :

• Bottom-up : Thresholding /Classification

• Top-down :3D and 4D deformable models

	Thresholding /Classification	Deformable Models	Markov Random Field
Shape Information	None	Important	local
Intensity Information	Essential	Important	Important
Boundary/ Region	Region	Boundary	Region

26/09/2006



**INRIA**  
COMPLEX ANATOMY

45

## Deux Méthodes de Segmentation

Description de 2 méthodes de segmentation :

• Basée Voxel : Thresholding /Classification

• Basée Modèle :Modèles déformables 3D et 4D

	Thresholding /Classification	Deformable Models	Markov Random Field
Shape Information	None	Important	local
Intensity Information	Essential	Important	Important
Boundary/ Region	Region	Boundary	Region

26/09/2006



**INRIA**  
COMPLEX ANATOMY

46

## Segmentation

### 2. Seuillage/ Classification

## Seuillage et Classification

- Idée principale :**

une structure est uniquement caractérisée par ses niveaux de gris dans l'image

→ Valide pour les structures fortement contrastées

- Algorithme de seuillage élémentaire :**

- Seuillage entre deux niveaux de gris (fenêtrage)
- Opérations de morphologie mathématique
  - Erosion et Dilatation
  - Fermeture et Ouverture
  - Extraction de composantes connexes

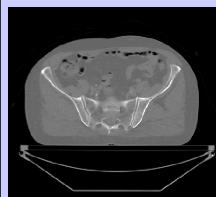
26/09/2006



INRIA

48

## Images Fortement Contrastées (1)



Seuillage interactif



Image Seuillée

Exemple : Image scanner du bassin

## Images Fortement Contrastées (2)



Isosurface

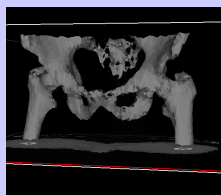
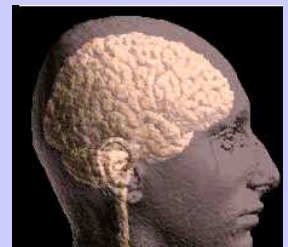
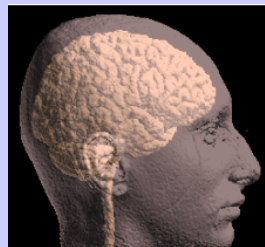


Image après opérations de morphologie mathématique



## Thresholding + mathematical morphology + connected components



26/09/2006

INRIA

51

## Limitation of thresholding

### Thresholding :

- Choice of threshold can be computed from grey-level histogram
- Does not assume any spatial correlation of voxel intensity
- Does not take into account the effect of **partial volume effect** (PVE)



Use of classification methods

26/09/2006

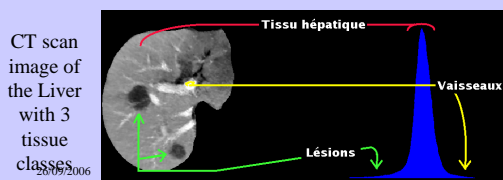
INRIA

52

## Classification Method

- It is often not valid to consider that a voxel belongs to a single tissue type.
- It is therefore reasonable to estimate that each voxel  $x$  has a probability  $p_k(x)$  of belonging to a tissue class  $k$  ( $1 \leq k \leq K$ )

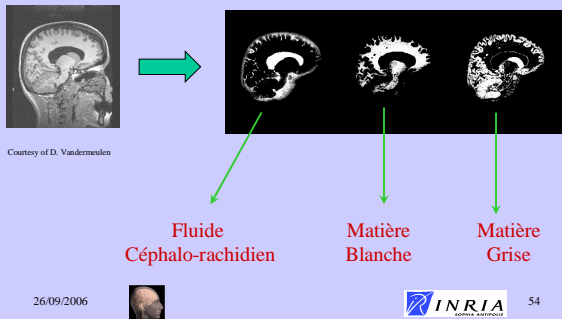
$$\sum_{k=1}^K p_k(x) = 1$$



53

## Classification des tissus du cerveau

- Application pour l'IRM du cerveau



## Classification Method (2)

- Various classification methods :

- Fuzzy c-means
  - General classification approach
  - Non parametric
- EM Algorithm
  - Parametric approach (mixture of Gaussians)
  - Can take into account bias field
- Curve fitting
  - Use a hierarchical approach
  - Non-linear optimization

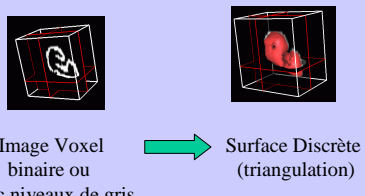
26/09/2006



INRIA 55

## Isosurface et Isocontours (1)

- Etape de polygonalisation :



## Isosurface et Isocontours (2)

- Plusieurs stratégies :

- 1) Image Binaire  $\Rightarrow$  extraction du bord des voxels
- 2) Extraction de contours puis connexion des contours par une surface
- 2) Image Binaire ou niveaux de gris  $\Rightarrow$  extraction d'isosurfaces associées à un seuil  $c$

En 2D, Extraction d 'isocontours  $I(x,y)=c$

En 3D, Extraction d 'isosurfaces  $I(x,y,z)=c$

26/09/2006



INRIA 57

## Isosurface et Isocontours (3)

- Choix du seuil  $c$  :
  - peut-être une valeur flottante
  - pour la plupart des algorithmes, on utilise une valeur non-entière
- Propriétés des isosurfaces :
  - surfaces fermées ou avec une seul bord correspondant au bord de l'image
  - La normale à la surface est donnée par le vecteur gradient de l'image

26/09/2006

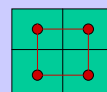


INRIA 58

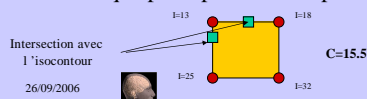
## Extraction d'Isocontour

- Calcul en 2D d'un isocontour

- Utilisation de la dualité entre pixels et points



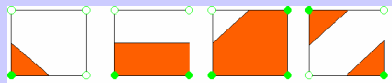
- On calcul l'intersection de l'isocontour avec chaque pixel par une interpolation (linéaire)



INRIA 59

## Extraction d'Isocontour (2)

- Calcul de l'isocontour à l'intérieur de chaque pixel :



- Algorithme :



26/09/2006

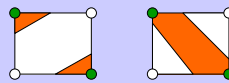


INRIA  
COMPLEX ANATOMY

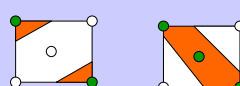
60

## Extraction d'Isocontour (3)

- Ambiguité : 2 choix sont possibles:



- On utilise l'un ou l'autre ou la moyenne des intensités au centre du pixel :



26/09/2006



INRIA  
COMPLEX ANATOMY

61

## Segmentation

### 2. Seuillage/ Classification

## Segmentation d'images à l'aide de modèles déformables

- Un modèle déformable est un récipient pour stocker de l'information a priori sur la géométrie et l'apparence de structures anatomiques
- Deux niveaux de connaissance a priori:

	Faible Connaissance a priori	Grande Connaissance a priori
Forme	Contrainte de continuité C1 ou C2 Initialisation avec formes génériques (sphère, ...)	Contrainte de Forme Initialisation avec forme moyenne
Apparence	Utilise information de gradient et/ou intensité	Utilise profils d'intensité ou appariement de blocs

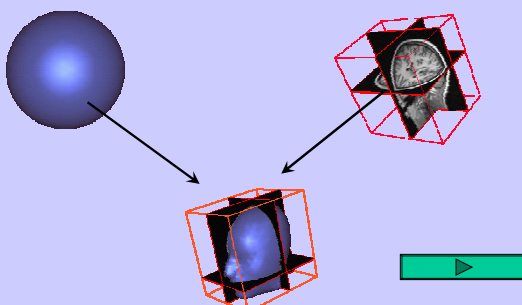
26/09/2006



INRIA  
COMPLEX ANATOMY

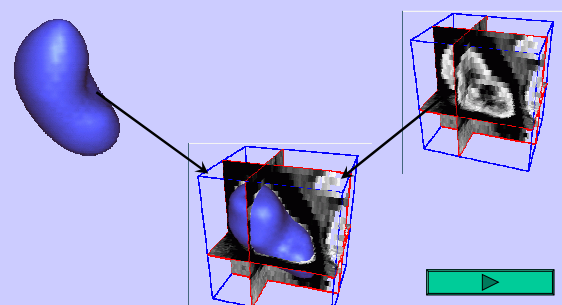
70

### Faible connaissance A Priori



- Valide pour des structures fortement contrastées
- Peut demander une intervention de l'utilisateur

### Forte connaissance A Priori



- Valide pour une structure donnée et une modalité donnée
- Plus robuste à l'exception des formes « anomalies »

**Segmentation: endocranum**

CT scan image, Bony structures

Time of convergence : 13,8 s

model: 1169 cm<sup>3</sup>  
mold: 1150 cm<sup>3</sup>

26/09/2006

**INRIA** 74

**Visible Human**

Joseph Paul Jernigan (died August 5th 1993)

**INRIA** 75

**Reconstruction du Foie**

**Deformation à partir d'un modèle de référence issu du « Visible Human Project »**

26/09/2006

**INRIA** 76

**Segmentation: foie**

Image scanner de l'IRCAD, extraction du foie

Temps de convergence: 2 mn 12 s  
Extraction des segments de Couinaud

26/09/2006

**INRIA** 77

**Variabilité anatomique du Foie**

26/09/2006

**INRIA** 78

**Deformable Model Geometry (3)**

[Montagnat2001]

26/09/2006

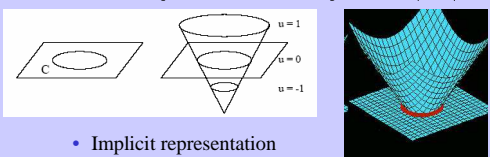
**INRIA** 79

## Deformable models

- Level-sets

- Curve/Surface  $C$  (in  $\mathbb{R}^2/\mathbb{R}^3$ ) that corresponds to an iso-level of a surface/hypersurface (in  $\mathbb{R}^3/\mathbb{R}^4$ )

$$C(t) = \{(x, y) | u(x, y, t) = 0\} \quad u_t + F |\nabla u| = 0$$



- Implicit representation

26/09/2006



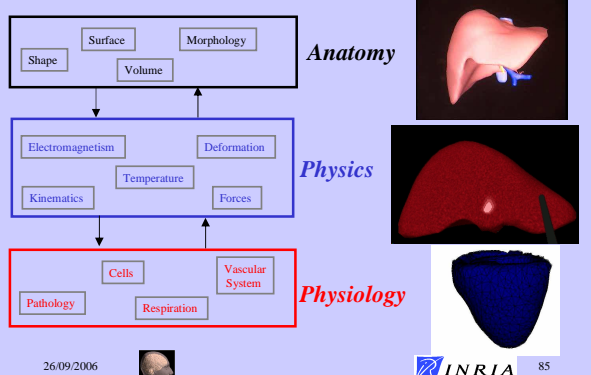
INRIA

80

## Modélisation

### 3. Computational Models of the Human Body

## Modeling Levels



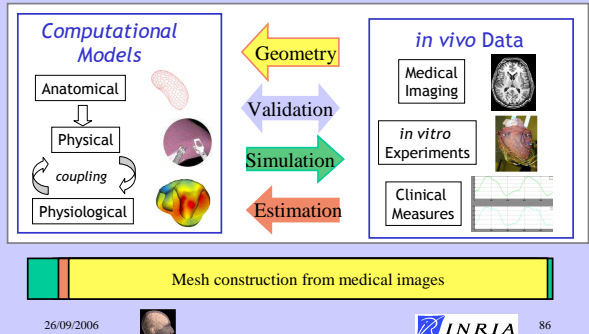
26/09/2006



INRIA

85

## Modeling and Imaging



26/09/2006



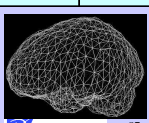
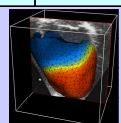
INRIA

86

## Example of Computational Models of the Human Body

- 3 applications of human modeling

Application Type	Organ	Real/Time Constraint	Image Interaction	Physiologic Modeling
Surgery Simulation	Liver	Yes	Validation	No
Diagnosis & Therapy Planning	Heart	No	Image Segmentation	Yes
Prediction of outcome	Brain	No	Validation	No



26/09/2006

INRIA

87

## Surgery Simulation

### Acknowledgments:

- Clément Forest, Guillaume Picinbono, Stéphane Cotin, Jean-Christophe Lombardo, Nicholas Ayache
- INRIA projects member of the AISIM collaborative action (Imagis, SharpMacs)
- IRCAD

### Need for Training

- Hand-eye Synchronisation
- Camera being manipulated by an assistant
- Long instruments going through a fixed point in the abdomen

**INRIA** 89

### EPIDAURE SIMULATION

[Cotin, 1997] [Picinbono, 2001] [Forest 2003]

- Hepatectomy Simulation by laparoscopy
- Includes liver segmentation

26/09/2006 **INRIA** 90

### Simulator Workflow

Collision
Contact
Deformation
Force

**INRIA** 91

### Different Technical Issues

- Mesh Reconstruction from Images
- Soft Tissue Modeling
- Tissue Cutting
- Collision Detection
- Contact Modeling
- Surface Rendering
- Haptic Feedback

26/09/2006 **INRIA** 92

### Modeling basic surgical gesture

Gliding      Gripping  
Cutting (Pliers)      Cutting (Scissors)

26/09/2006 **INRIA** 93

### A Family of Models (1/3)

Pre-computed Linear Elastic Model
-----------------------------------

Very Fast  
No topology changes

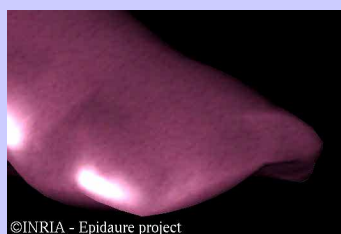
AISIM 1999  
Epabre IMAG SINUS

26/09/2006 **INRIA** 94

## A Family of Models (2/3)

Elastic Model  
« Tensor-Mass »

Topology Changes  
 Limited to small displacements



26/09/2006

©INRIA - Epidaure project

95

## A Family of Models (3/3)

Non-Linear Elastic Model

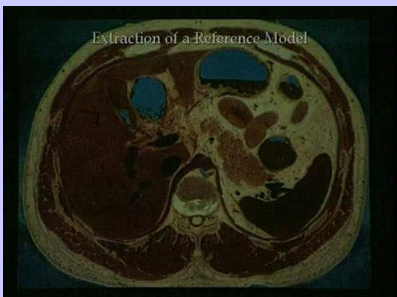
Large Displacements  
 Small Deformations



26/09/2006

96

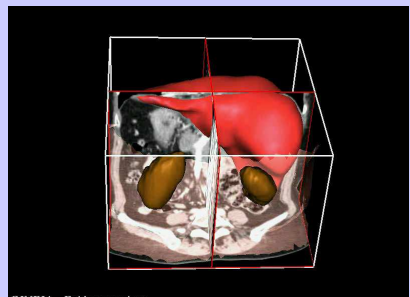
## Complete Simulation



26/09/2006

97

## Complete Simulation



26/09/2006

98

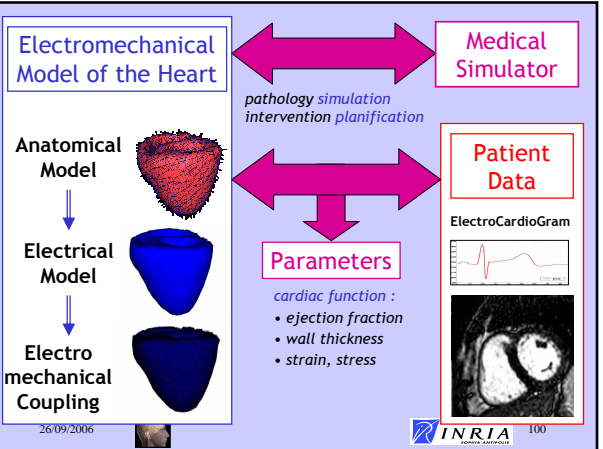
## Cardiac Modeling

### CARDIOSENSE3D

<http://www.inria.fr/CardioSense3D>

#### Acknowledgments:

- Maxime Sermesant, Valérie Moreau, Nicholas Ayache
- INRIA projects member of the ICEMA collaborative action (Sosso, Macs, Caiman, University of Nantes),
- NIH (Elliot Mc Veigh), Guy's Hospital (D. Hill)
- Philips Research France



## Myocardium Geometry

- Obtained from High Resolution Post-Mortem MRI of canine heart

Courtesy of Hsu, Duke University

Other Data available, Courtesy of P. Hunter, Auckland University

26/09/2006 101

## Fiber Directions (canine Data)

- From high resolution Diffusion Tensor MRI

E.W. Hsu and C.S. Henriquez, Myocardial fiber orientation mapping using reduced encoding diffusion tensor imaging, Journal of Cardiovascular Magnetic Resonance, 2001.

26/09/2006 102

## Geometrical Model of Human Heart

Finite Element Mesh ©INRIA - Epidiaure project

Fiber Directions  103

26/09/2006

## Different Levels of Modeling

- Geometrical Modeling
- Electrical Propagation
- Mechanical Coupling
- Parameter Identification

26/09/2006 104

## Heart Electrical Activity

Atrial depolarisation      Ventricular repolarisation

Ventricular depolarisation

electrocardiogram

Right atrium      Left atrium

Purkinje fibers

Interventricular septum

① Sinoatrial node (pacemaker)  
② Atrioventricular node  
③ Atrioventricular bundle (Bundle of His)  
④ Bundle branches  
⑤ Purkinje fibers

0 0.2 0.4 0.6 0.8 seconds

1.0 0.5 0 mV

105

## Electrical Model

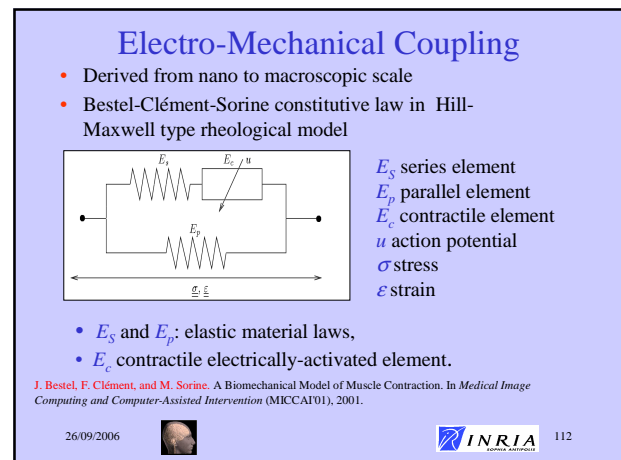
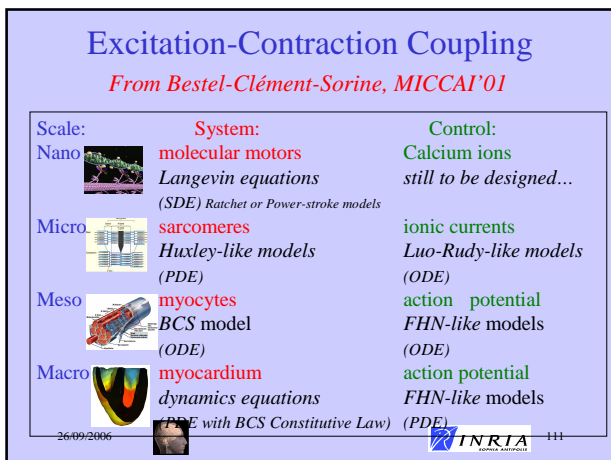
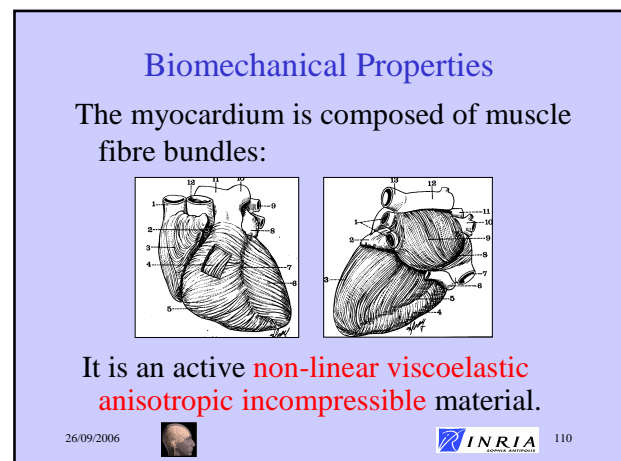
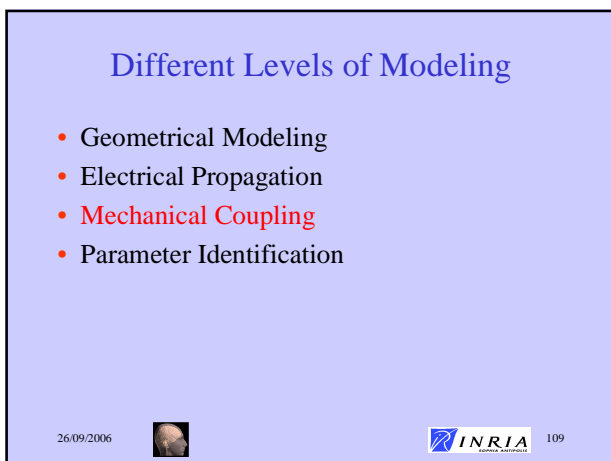
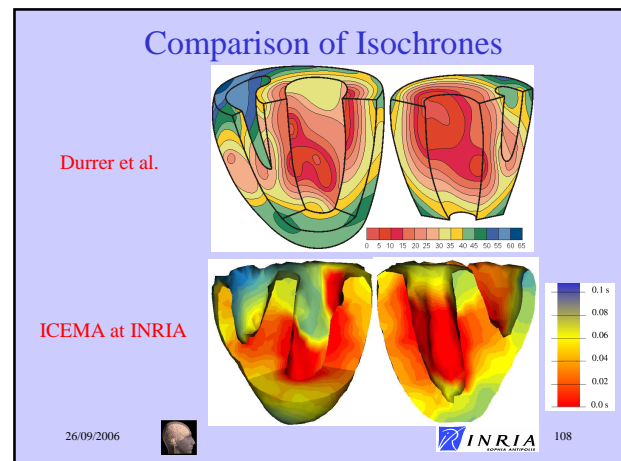
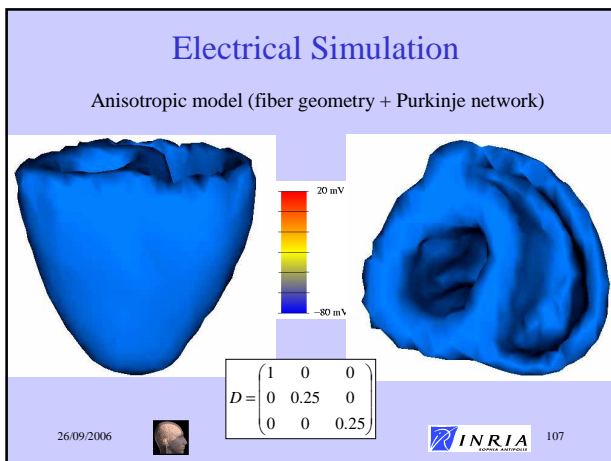
- Action potential  $u$  computation: 2 variables FitzHugh-Nagumo Reaction-Diffusion system

$$\begin{cases} \frac{\partial u}{\partial t} = \text{div}(D \nabla u) + f(u) - z \\ \frac{\partial z}{\partial t} = b(u - cz) \end{cases}$$

$u$  action potential  
 $D$  diffusion tensor  
 $f$  ionic current  
 $z$  repolarization variable  
 $b$  repolarisation rate  
 $c$  repolarisation decay

Or R. Aliev and A. Panfilov : A Simple Two-variable Model of Cardiac Excitation, *Chaos, Solitons & Fractals*, Vol 7, No 3, pp. 293-301, 1996

26/09/2006 106



## Bestel-Clément-Sorine Myofiber Model

Electromechanical coupling system derived from *nanoscopic* to *mesoscopic* scale

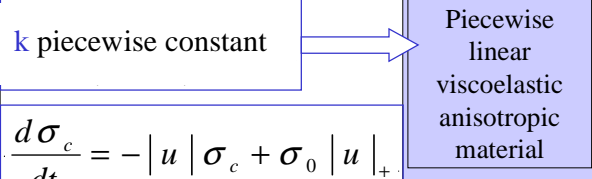
$$\begin{cases} \frac{dk_c}{dt} = -\left(|u| + \left|\frac{d\varepsilon_c}{dt}\right|\right)k_c + k_0|u|_+ \\ \frac{d\sigma_c}{dt} = -\left(|u| + \left|\frac{d\varepsilon_c}{dt}\right|\right)\sigma_c + k_c \frac{d\varepsilon_c}{dt} + \sigma_0|u|_+ \end{cases}$$

$k_c$  contractile stiffness  
 $u$  electrical action potential  
 $\varepsilon_c$  contractile strain  
 $\sigma_c$  contractile stress

J. Bestel, F. Clément, and M. Sorine. A Biomechanical Model of Muscle Contraction. In *Medical Image Computing and Computer-Assisted Intervention (MICCAI'01)*, 2001.

26/09/2006  INRIA 113

## $F_c$ : Simplified electromechanical model for image segmentation

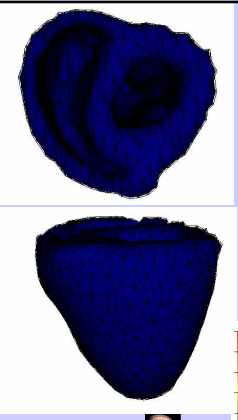
$k$  piecewise constant 

$$\frac{d\sigma_c}{dt} = -|u|\sigma_c + \sigma_0|u|_+$$

Piecewise linear viscoelastic anisotropic material

Only electrical command on contraction stress  $\sigma_c$

26/09/2006  INRIA 114



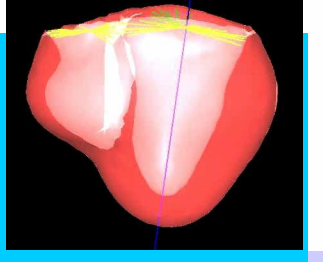
## Electro-Mechanical coupling

- the “Action potential”  $u$  controls contractile element:  
 $u > 0$  : Contraction  
 $u \leq 0$  : Relaxation
- $u$  also modifies stiffness  $k$  of the material.

• Ayache-Chapelle-Clément-Coudière-Delingette-Sermesant-Sorine-FIMH'01  
• Sermesant-Coudière-Delingette- et al., MICCAI'02

26/09/2006  INRIA 115

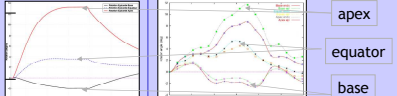
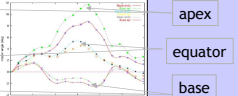
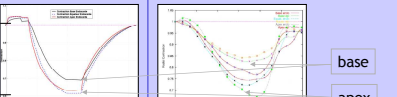
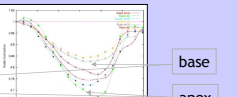
## Cardiac Cycle Simulation



- 4 phases :
  - filling
  - isovolumetric contraction
  - ejection
  - isovolumetric relaxation
- 2 Boundary Conditions :
  - Pressure constraint on the endocardium
  - Isovolumetric constraint on the endocardium

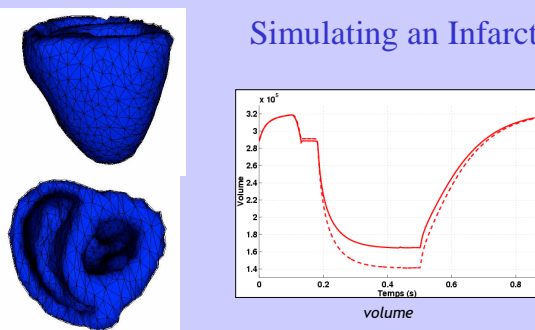
26/09/2006  INRIA 116

## Cardiac Cycle Parameters

	Simulated	Measured par Philips (tagged MRI)
global volume		
local twist		
radial contraction		

26/09/2006  INRIA 117

## Simulating an Infarct



Infarcted zone simulation

volume

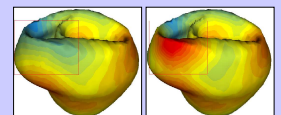
Time (s)

ejection fraction: 56 % → 48 %

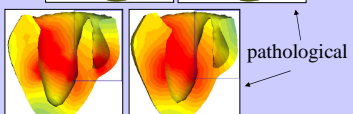
26/09/2006  INRIA 118

## Simulating Electrical Pathologies

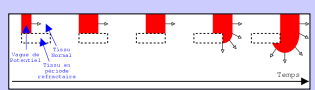
- Ectopic Focus in RV
  - Wolff-Parkinson-White



- Bundle of His defect in RV
  - Right Branch Block



- Fibrillation



Wave-break



119

26/09/2006



INRIA